

Pared torácica y diafragma en el traumatismo torácico: semiología radiológica de fracturas, hematomas y roturas diafragmáticas.

Gómez Hernández J. ^{(1)*}, Bernabéu Rodríguez M. ⁽²⁾, García Valverde T. ⁽³⁾, Jean-Pierre V. ⁽⁴⁾, Montaña Merideño M. ⁽⁵⁾, García Pampa Rodríguez R.A. ⁽⁶⁾.

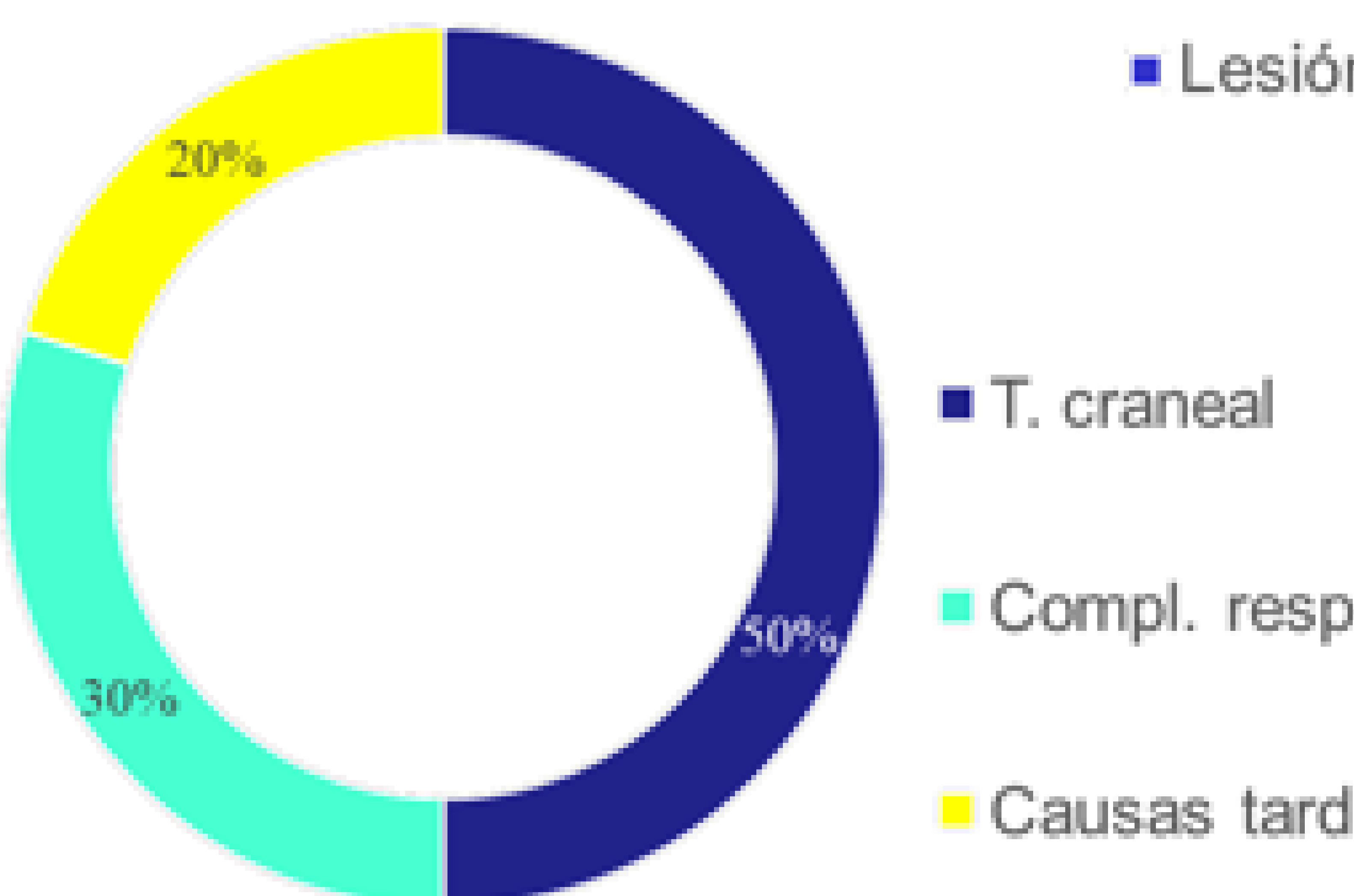
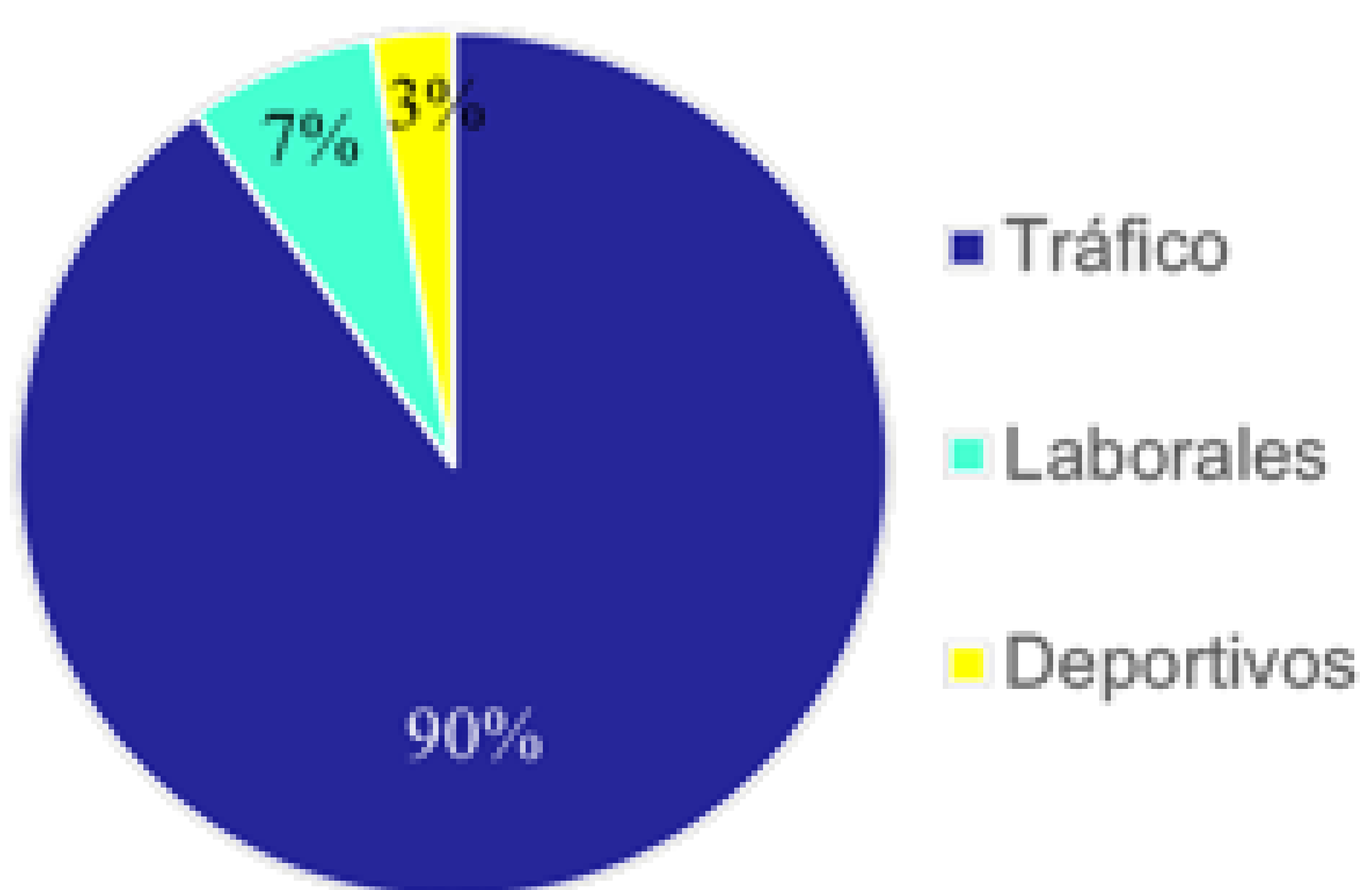
¹Complejo Hospitalario Universitario de Albacete; ^{2,5}Hospital Virgen de la Salud, Toledo; ^{3,4}Hospital Virgen de la Luz, Cuenca. ⁶Hospital Universitario de Guadalajara.

Objetivos docentes:

- Revisar los aspectos generales del traumatismo de tórax.
- Describir las principales lesiones de la pared torácica y del diafragma en el traumatismo torácico.
- Distinguir cada entidad según la semiología radiológica, crucial para un correcto manejo terapéutico posterior.

Introducción al traumatismo torácico(I):

- Países occidentales: más del 90 % son cerrados y se deben a accidente de tráfico
- Politraumatizado: tercera causa de muerte; mortalidad global → 4 – 20 %



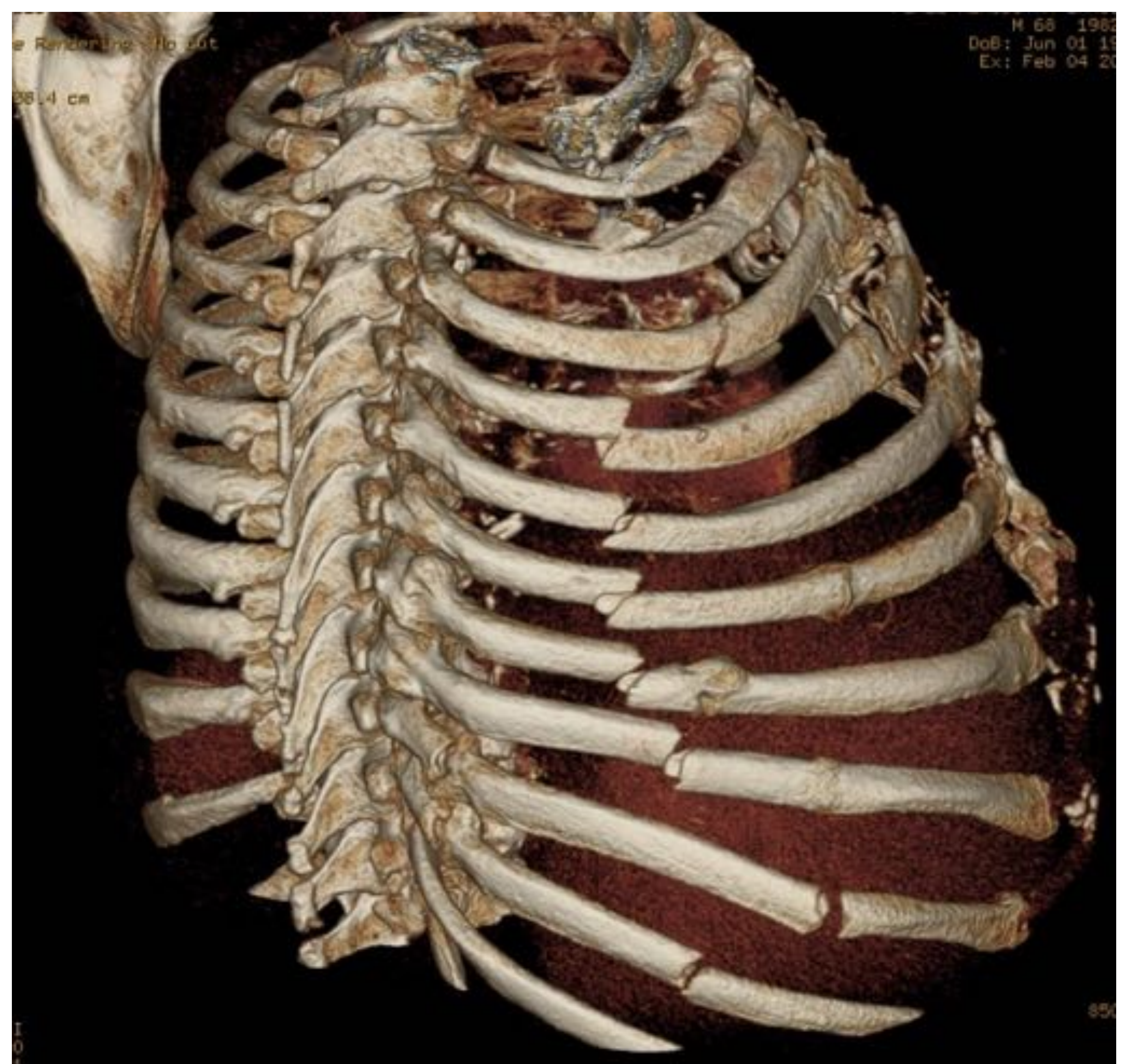
- Mortalidad del trauma torácico → 15,5 %
- Cuando se asocia con daño cerebral (escala de Glasgow entre 3 y 4) → 77 %

Introducción al traumatismo torácico(II):

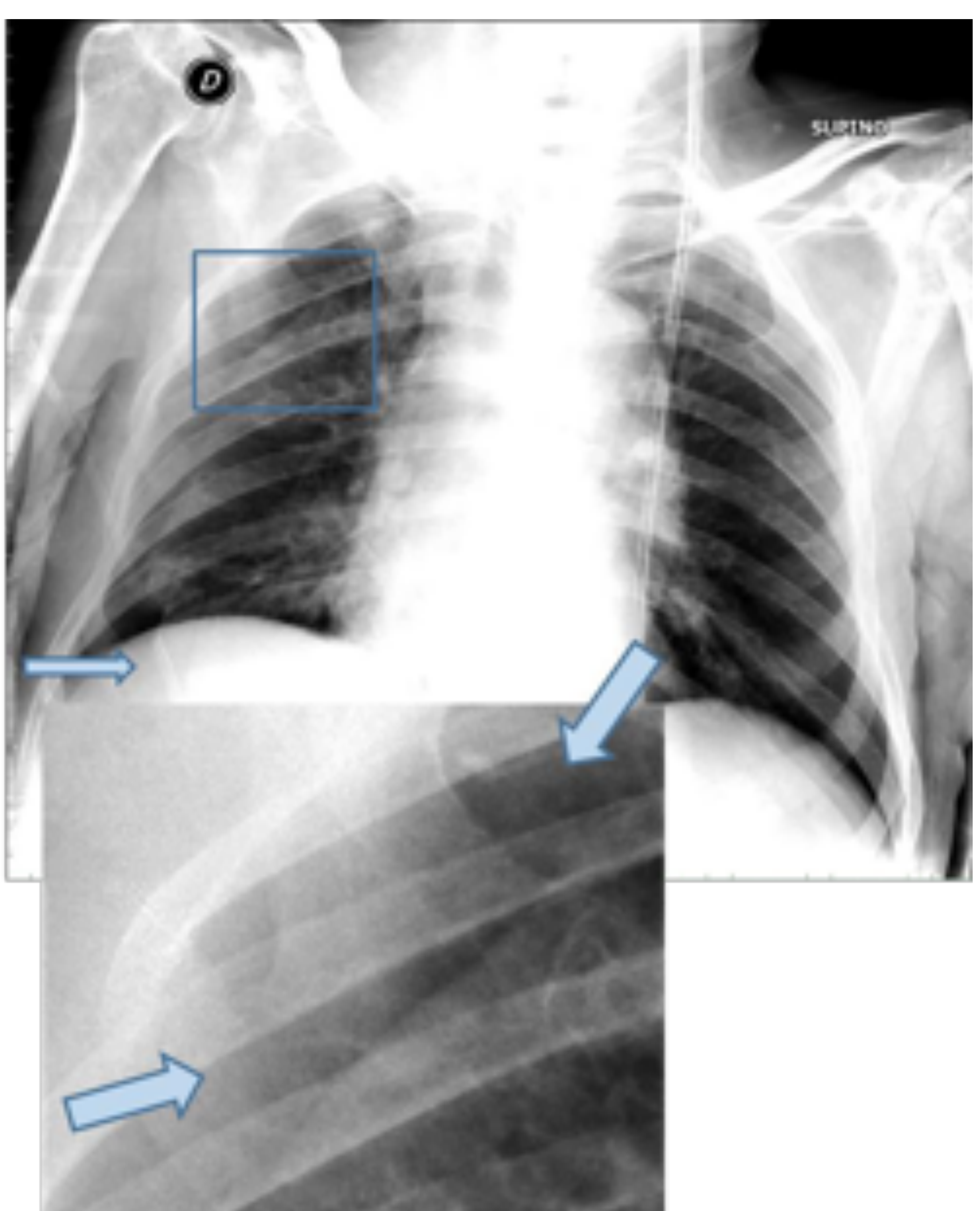
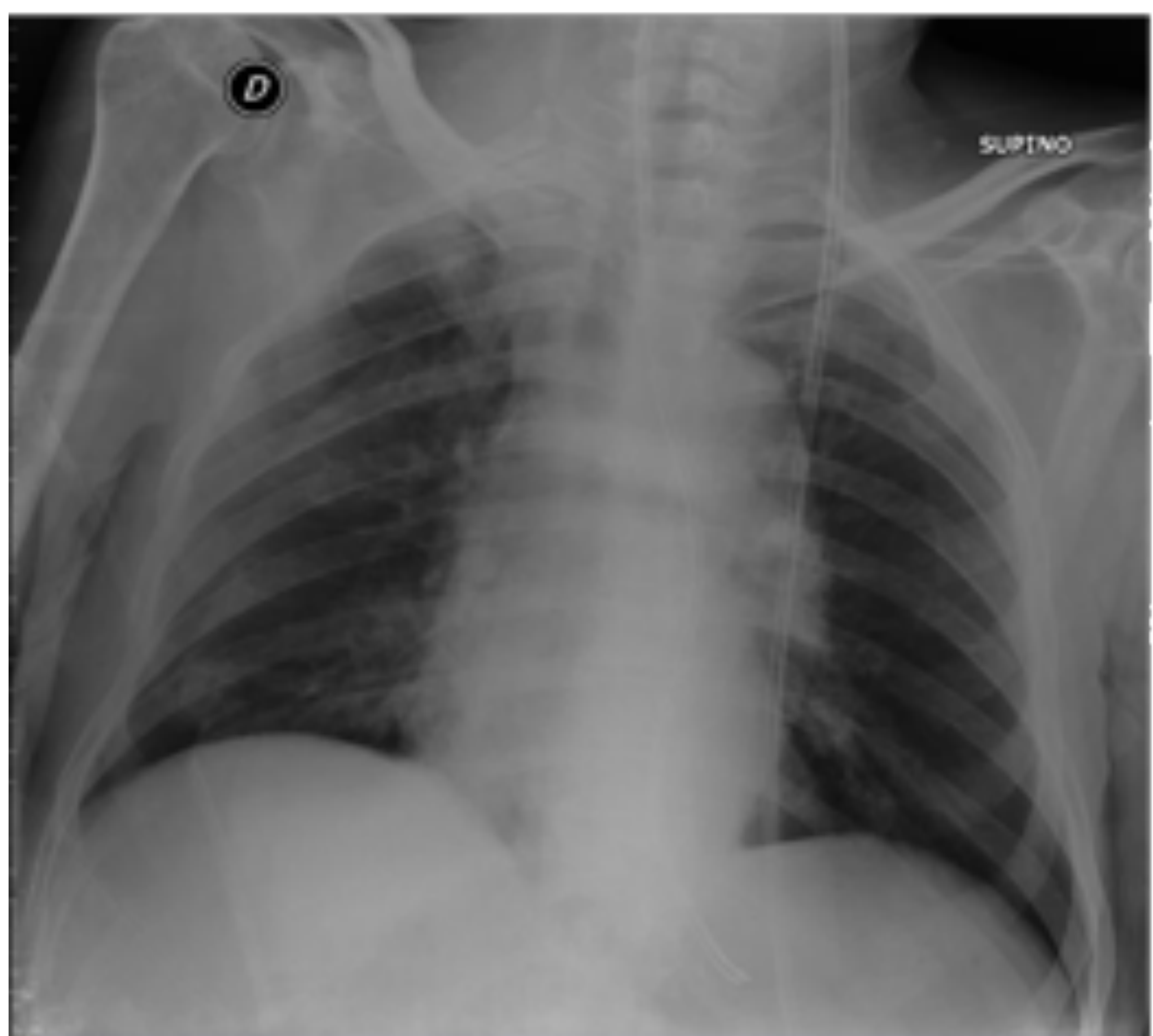
- Lesiones de la caja torácica
- Estructuras óseas
 - Fracturas costales → Lesiones más frecuentes en el TT (50 %)^{1,2}
 - Fractura de la escápula
 - Fractura de la columna dorsal
- Partes blandas
 - Rotura diafragmática → 0,16 – 0,5 %¹ // Izq. > Derecho (3:1)³
 - Lesión del plexo braquial
 - Hematoma extrapleural
- Lesiones pleuropulmonares
 - Contusión, laceración, hematoma pulmonar
 - Hemotórax

Ejemplos de lesiones traumáticas frecuentes:

▪Fractura costal

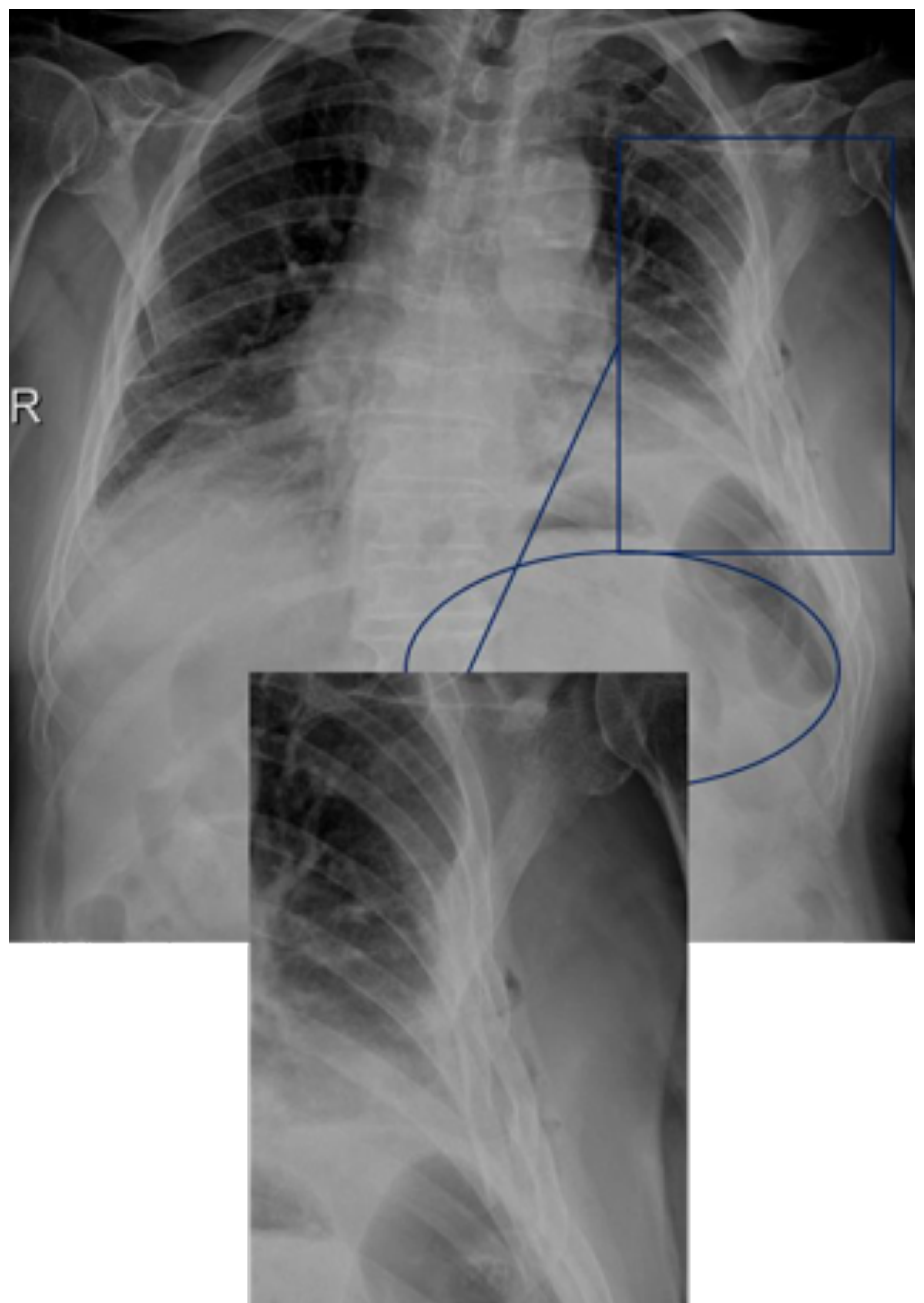
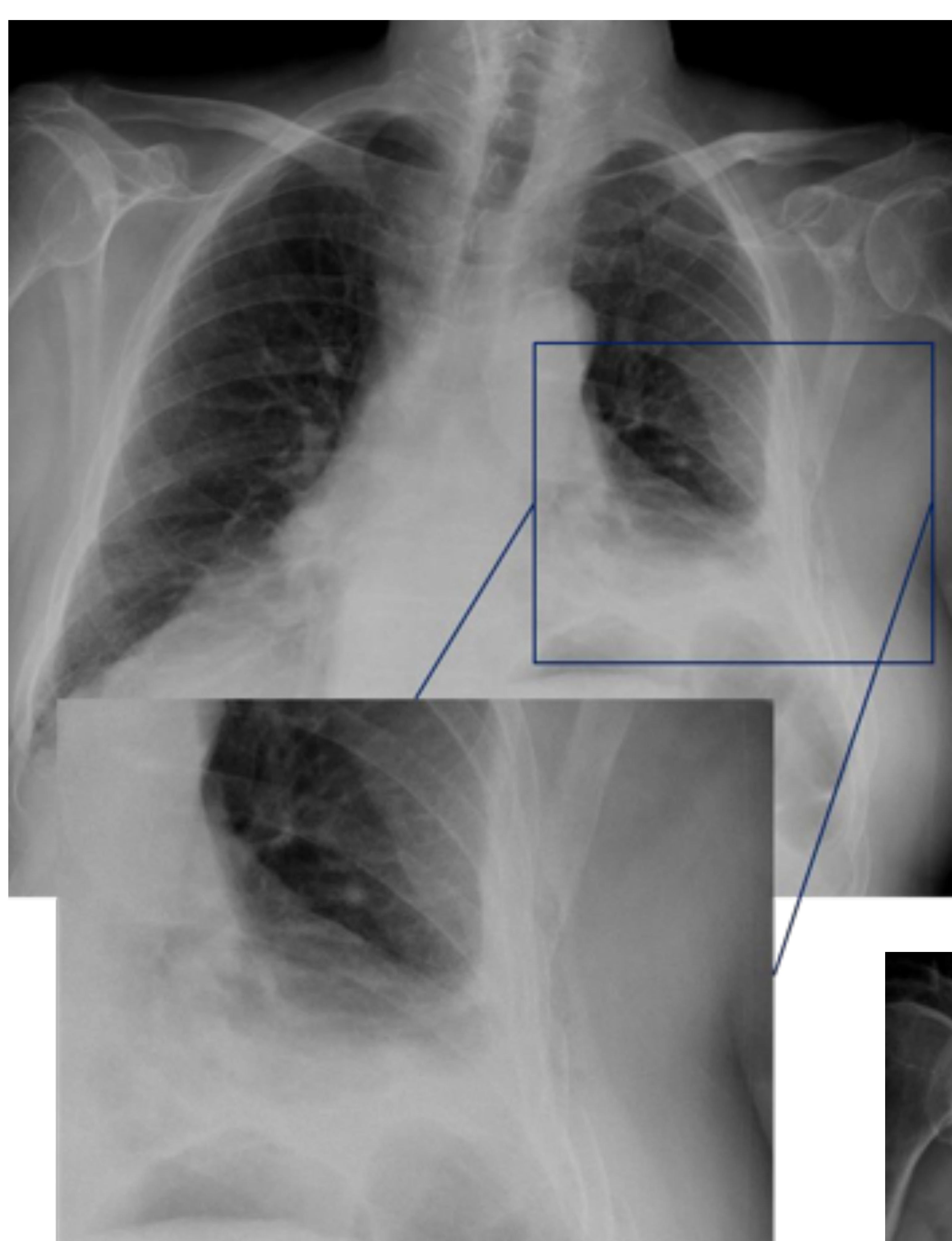


▪Neumotórax



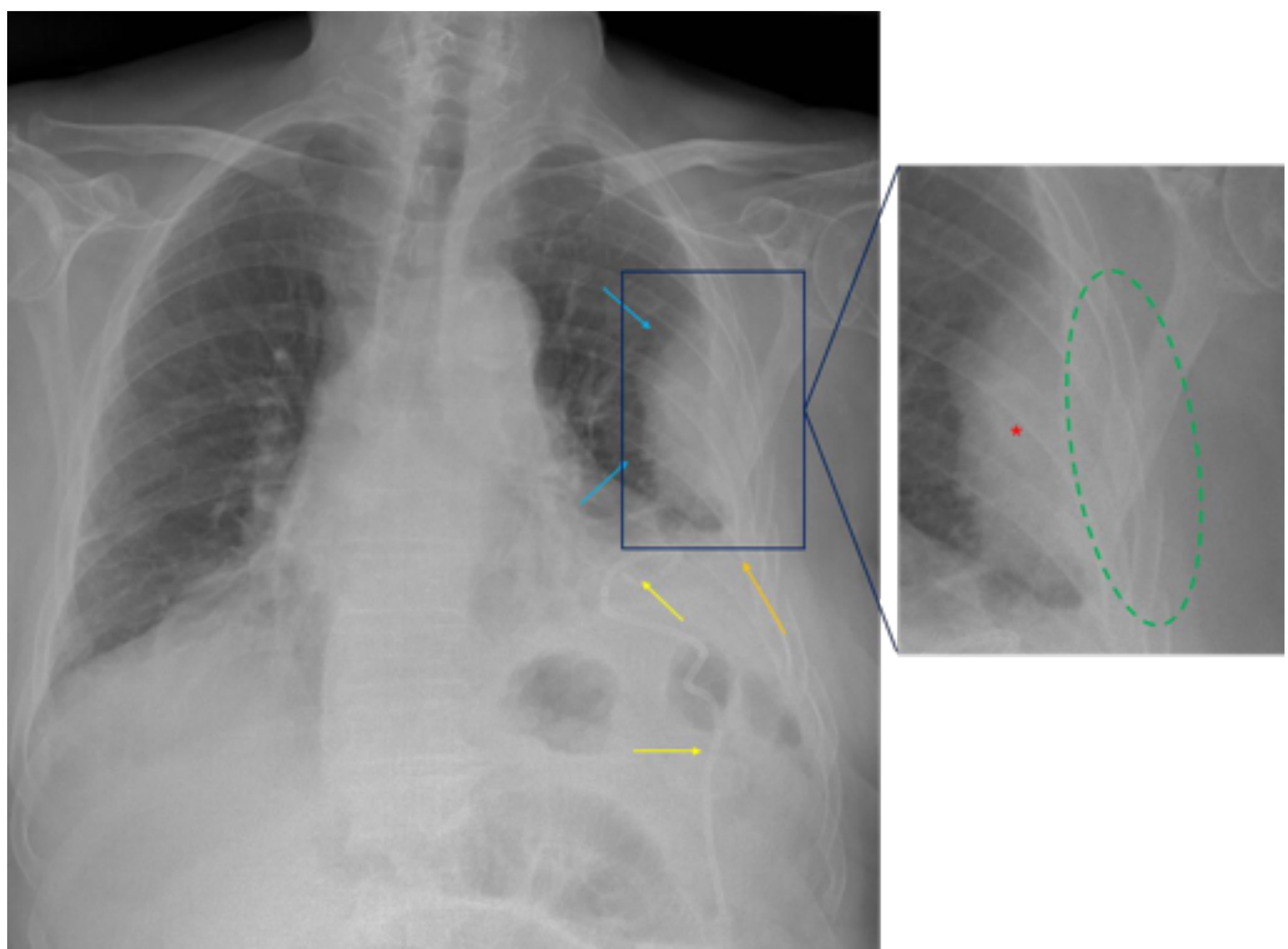
Caso clínico (I) → varón de 80 años

- Caída accidental con contusión en hemicara y hemitórax izquierdos
- Leve disnea y dolor torácico

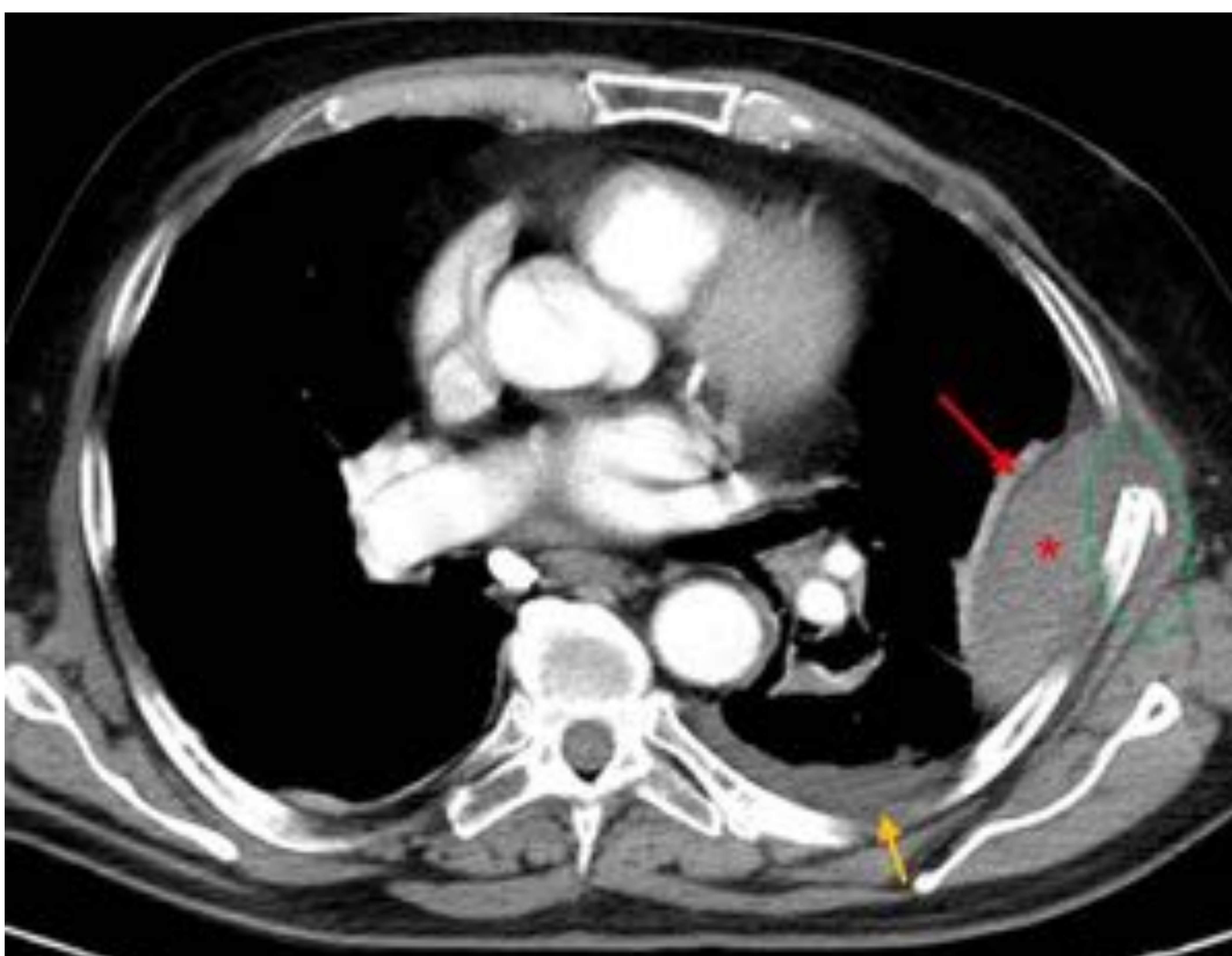


Caso clínico (II)

- Punción torácica
 - Composición hemática
 - Tubo de drenaje → débito total, unos 1500 ml
 - Ligera anemización (Hb: 10,9 g/dl)
- El paciente permanece estable durante el ingreso
- Radiografía de control

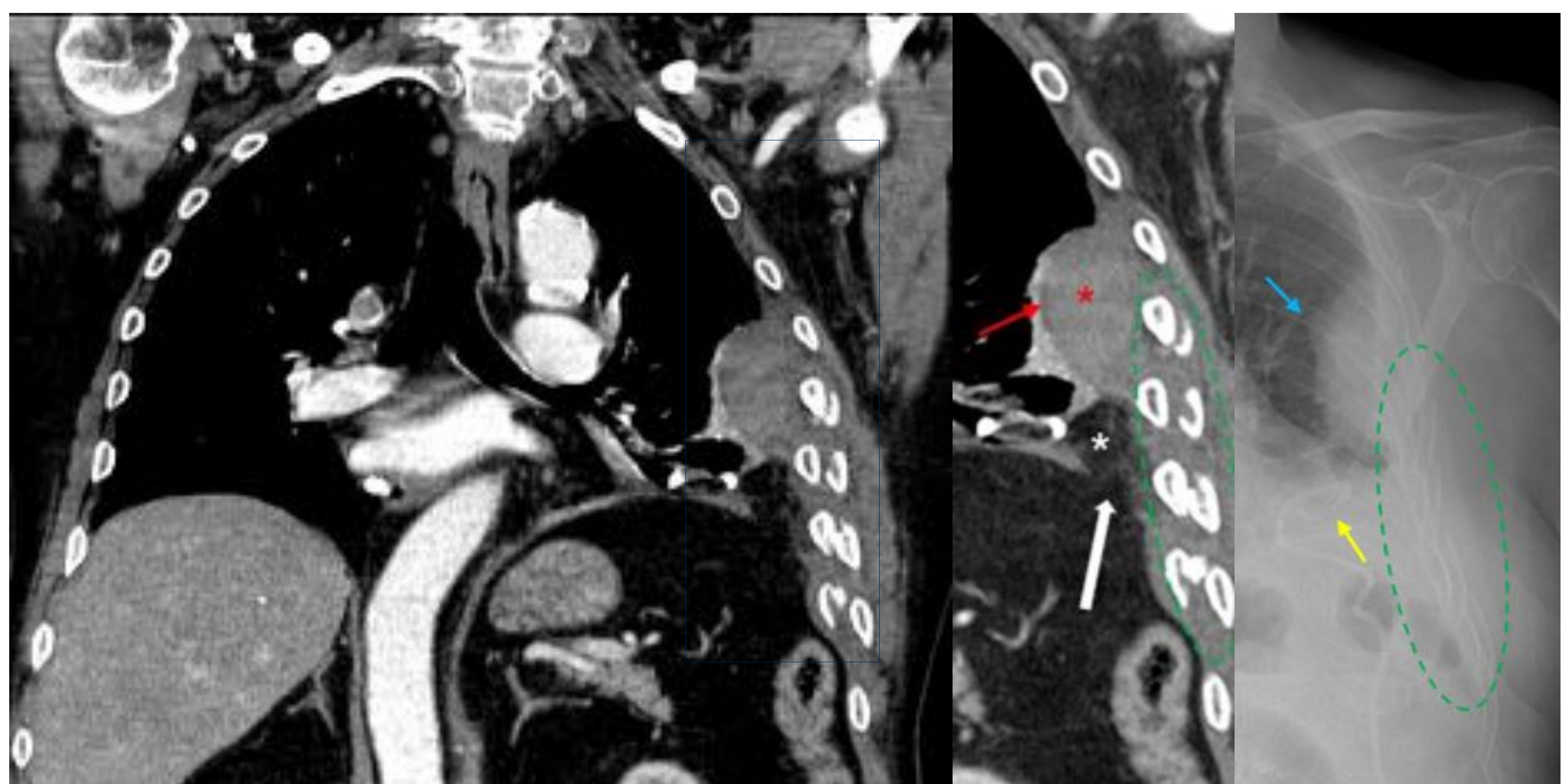


Caso clínico (III):TC axial

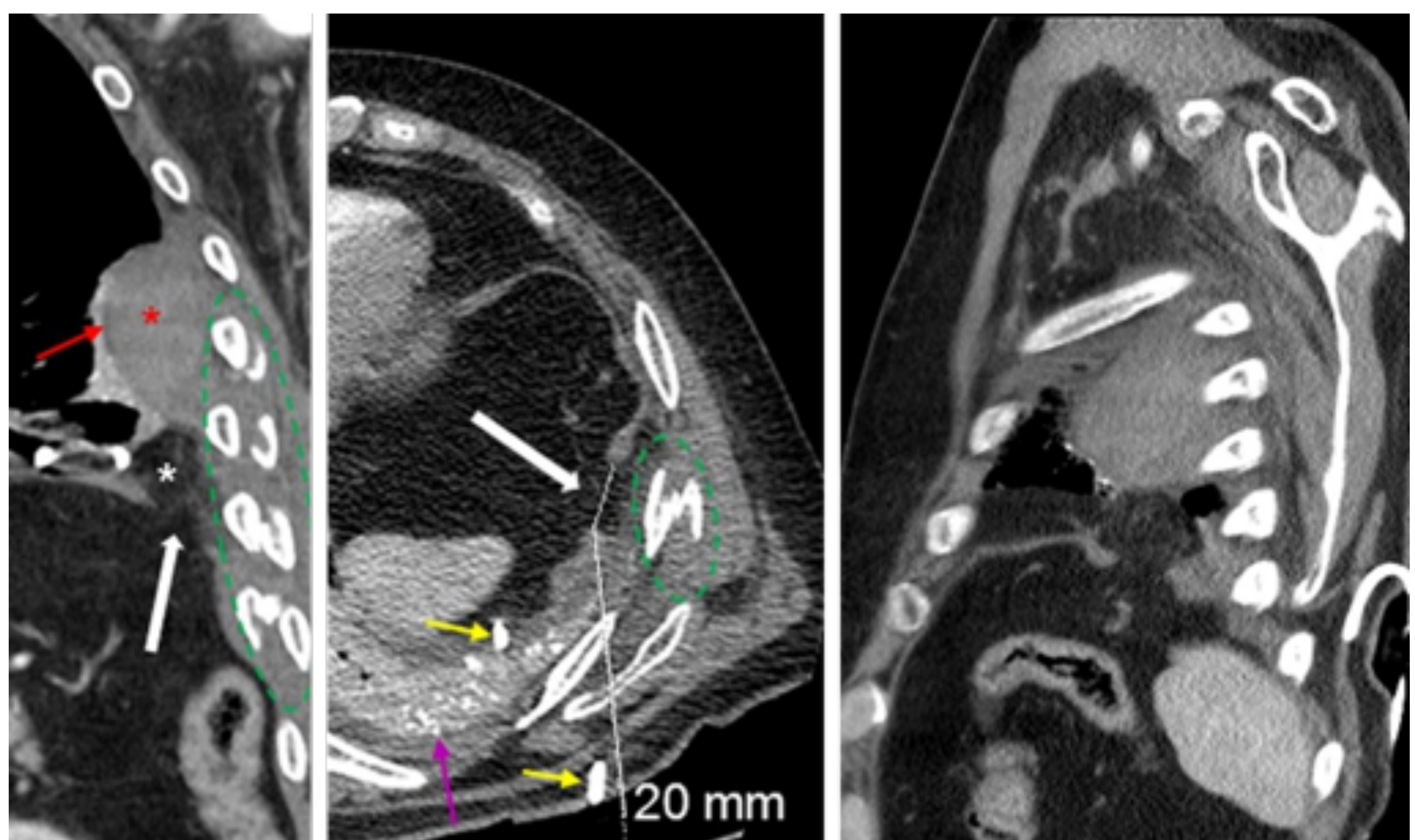


- Imágenes en el **plano axial**. Imagen **superior**. Signo de la “grasa extrapleural”: la presencia de una fina lámina hipodensa grasa (flecha roja) confirma un origen extrapleural^{4,5}. La elipse verde engloba la fractura costal. El asterisco rojo corresponde con el hematoma extrapleural. La flecha naranja señala un pequeño derrame pleural junto con atelectasia pasiva
- Imagen **inferior**. Punto de rotura diafragmática señalado por la flecha blanca. Flecha amarilla, catéter de drenaje.

Caso clínico (IV). Reconstrucción MPR y comparativa (Rx).

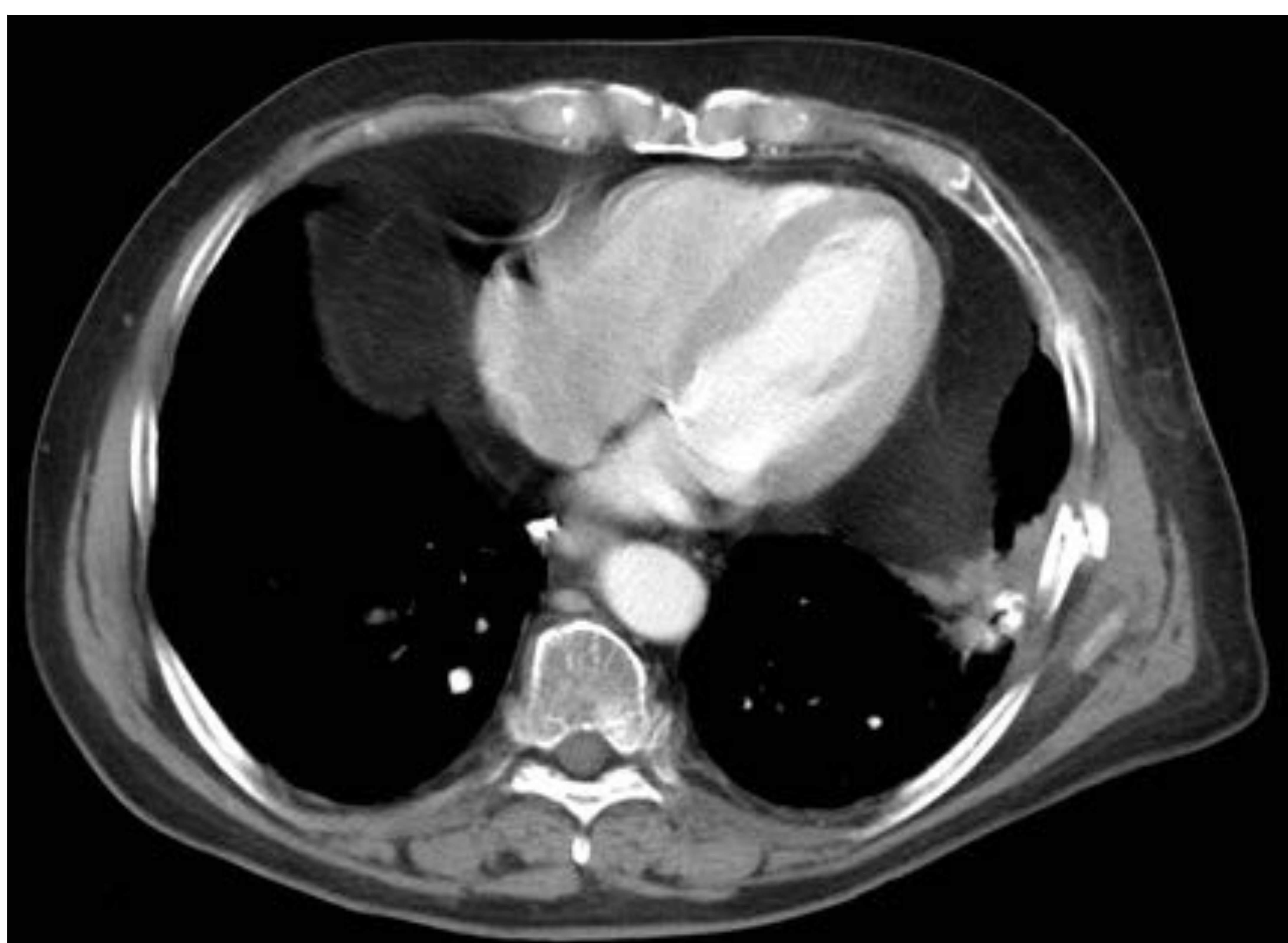


Signo de la “grasa extrapleural”: distinción de hematoma extrapleural del hemotórax (conlleva diferente manejo clínico y terapéutico)



Solución de continuidad en el hemidiafragma izquierdo de unos 2 cm en el plano axial compatible con rotura diafragmática

Caso clínico (V). Evolución



*Toracotomía lateral → ausencia del defecto diafragmático en el control
Resolución del hematoma extrapleural y del derrame pleural*

CONCLUSIONES:

- RS → bajo coste y rapidez. Sin embargo, se estima que solamente alrededor del 50 % de todas las fracturas costales pueden detectarse en las Rx convencionales PA.⁶
- El signo de la grasa extrapleural es especialmente útil para definir el origen extrapleural de la patología subyacente.^{4,5}
 - Tamaño y forma (biconvexos / no convexos^{7,8}).
 - Según lo anterior puede sospecharse un origen arterial o venoso, lo que determinará la necesidad de intervención o, como en muchos casos, observación clínica.
- El diagnóstico de RD es complejo:
 - 19 signos radiológicos, existiendo confusión en su nomenclatura.
 - Sens. TC: 70 – 90%⁹. Con TC multidetector las últimas revisiones establecen una S del 71-90% y una E del 98-100%¹⁰, aunque existe controversia.
 - Se requiere un alto grado de sospecha así como un análisis meticuloso para su diagnóstico.

Bibliografía

1. Oikonomou A, Prassopoulos P. CT imaging of blunt chest trauma. European Society of Radiology. 2011; 2:281-295.
2. Kaewlai R, Avery L, Asrani A, Novelline R. Multidetector CT of Blunt Thoracic Trauma. RadioGraphics. 2008; 28:1555–1570.
3. Bocchini G, Guida F, Sica G, Codella U, Scaglione M. Diaphragmatic injuries after blunt trauma: are they still a challenge? Reviewing CT findings and integrated imaging. Emergency Radiology. 2012; 19:225–235.
4. Hammerman AM, Susman N, Strzembosz A, Kaiser LR. The extrapleural fat sign: CT characteristics. J Comput Assist Tomogr. 1990; 14:345–347.
5. Santamarina MG, Beddings I, Lermanda GV, Opazo H, Volpacchio MM. Multidetector CT for Evaluation of the Extrapleural Space. RadioGraphics. 2017; 37:1352–1370.
6. Battle C, Hutchings H, Evans P. Blunt chest wall trauma: A review. Trauma. 2013; 15: 156–175. Bocchini G, Guida F, Sica G, Codella U, Scaglione M. Diaphragmatic injuries after blunt trauma: are they still a challenge? Reviewing CT findings and integrated imaging. Emergency Radiology. 2012; 19:225–235.
7. Vummidi D, Chung J, Stern E. Extrapleural Fat Sign. J Thorac Imaging. 2012; 27:W101.
8. Chung JH, Carr R, Stern E. Extrapleural hematomas: imaging appearance, classification, and clinical significance. J Thorac Imaging. 2011; 26:218-223.
9. Van Hise M, Primack S, Scott Israel R, Muller N. CT in Blunt Chest Trauma: Indications and Limitations. Radiographics. 1998; 18:1071-1084.
10. Ramírez G, Carrillo J, Arias L. Traumatic diaphragmatic hernia: case series and topic review. Rev Colomb Radiol. 2012; 23: 3579-3586.